

Capítulo 28 - Fontes de Campo Magnético

RODRIGO ALVES DIAS

Universidade Federal de Juiz de Fora - UFJF

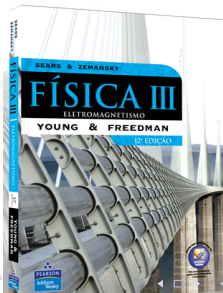
Livro texto: Física 3 - Eletromagnetismo

Autores: Sears e Zemansky

Edição: 12ª

Editora: Pearson - Addison and Wesley

12 de outubro de 2011



Objetivos de Aprendizagem

Ao estudar este capítulo você aprenderá:

- ▶ Qual a natureza do campo magnético produzido por uma única partícula carregada em movimento.

Objetivos de Aprendizagem

Ao estudar este capítulo você aprenderá:

- ▶ Qual a natureza do campo magnético produzido por uma única partícula carregada em movimento.
- ▶ Como descrever o campo magnético produzido por um elemento de um condutor que transporta uma corrente.

Objetivos de Aprendizagem

Ao estudar este capítulo você aprenderá:

- ▶ Qual a natureza do campo magnético produzido por uma única partícula carregada em movimento.
- ▶ Como descrever o campo magnético produzido por um elemento de um condutor que transporta uma corrente.
- ▶ Como calcular o campo de um fio longo e retilíneo que, que transporta corrente.

Objetivos de Aprendizagem

Ao estudar este capítulo você aprenderá:

- ▶ Qual a natureza do campo magnético produzido por uma única partícula carregada em movimento.
- ▶ Como descrever o campo magnético produzido por um elemento de um condutor que transporta uma corrente.
- ▶ Como calcular o campo de um fio longo e retilíneo que transporta corrente.
- ▶ Por fios que transportam correntes na mesma direção e sentido se atraem, enquanto fios que transportam correntes contrárias se repelem.

Objetivos de Aprendizagem

Ao estudar este capítulo você aprenderá:

- ▶ Qual a natureza do campo magnético produzido por uma única partícula carregada em movimento.
- ▶ Como descrever o campo magnético produzido por um elemento de um condutor que transporta uma corrente.
- ▶ Como calcular o campo de um fio longo e retilíneo que transporta corrente.
- ▶ Por fios que transportam correntes na mesma direção e sentido se atraem, enquanto fios que transportam correntes contrárias se repelem.
- ▶ Como calcular o campo magnético produzido por um fio que transporta corrente e é encurvado em um círculo.

Objetivos de Aprendizagem

Ao estudar este capítulo você aprenderá:

- ▶ Qual a natureza do campo magnético produzido por uma única partícula carregada em movimento.
- ▶ Como descrever o campo magnético produzido por um elemento de um condutor que transporta uma corrente.
- ▶ Como calcular o campo de um fio longo e retilíneo que, que transporta corrente.
- ▶ Por fios que transportam correntes na mesma direção e sentido se atraem, enquanto fios que transportam correntes contrárias se repelem.
- ▶ Como calcular o campo magnético produzido por um fio que transporta corrente e é encurvado em um círculo.
- ▶ O que é a lei de Ampère e o que ela revela sobre campos magnéticos.

Objetivos de Aprendizagem

Ao estudar este capítulo você aprenderá:

- ▶ Qual a natureza do campo magnético produzido por uma única partícula carregada em movimento.
- ▶ Como descrever o campo magnético produzido por um elemento de um condutor que transporta uma corrente.
- ▶ Como calcular o campo de um fio longo e retilíneo que transporta corrente.
- ▶ Por fios que transportam correntes na mesma direção e sentido se atraem, enquanto fios que transportam correntes contrárias se repelem.
- ▶ Como calcular o campo magnético produzido por um fio que transporta corrente e é encurvado em um círculo.
- ▶ O que é a lei de Ampère e o que ela revela sobre campos magnéticos.
- ▶ Como usar a lei de Ampère para calcular o campo magnético de distribuições simétricas de corrente.

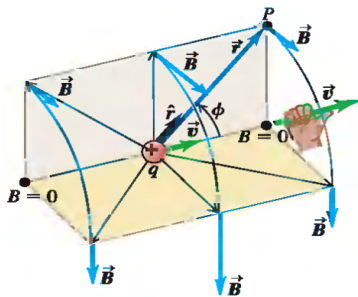
↳ Campo Magnético de uma Carga em Movimento

Local onde se encontra a carga **Ponto de fonte**.

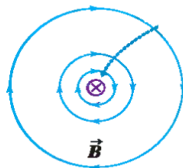
O ponto P é o **Ponto de campo**.

O campo \vec{B} é proporcional a:

- ▶ $|q|$.



Corrente orientada para dentro do plano da página



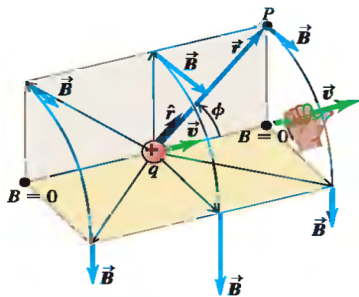
↳ Campo Magnético de uma Carga em Movimento

Local onde se encontra a carga **Ponto de fonte**.

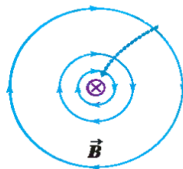
O ponto P é o **Ponto de campo**.

O campo \vec{B} é proporcional a:

- ▶ $|q|$.
- ▶ $1/r^2$.



Corrente orientada para dentro do plano da página



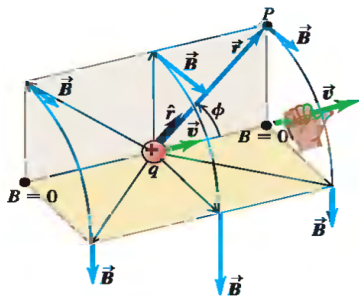
↳ Campo Magnético de uma Carga em Movimento

Local onde se encontra a carga **Ponto de fonte**.

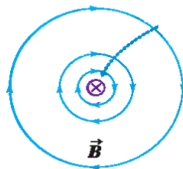
O ponto P é o **Ponto de campo**.

O campo \vec{B} é proporcional a:

- ▶ $|q|$.
- ▶ $1/r^2$.
- ▶ v .



Corrente orientada para dentro do plano da página



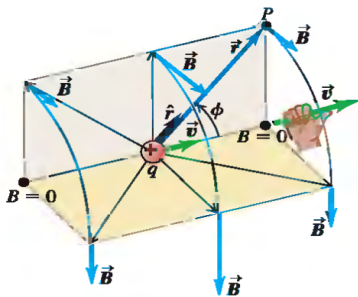
↳ Campo Magnético de uma Carga em Movimento

Local onde se encontra a carga **Ponto de fonte**.

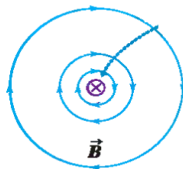
O ponto P é o **Ponto de campo**.

O campo \vec{B} é proporcional a:

- ▶ $|q|$.
- ▶ $1/r^2$.
- ▶ v .
- ▶ ao $\sin \phi$ entre \vec{v} e a direção de P em relação à carga.



Corrente orientada para dentro do plano da página



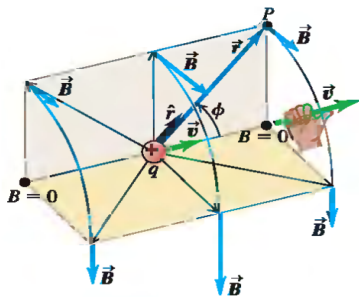
↳ Campo Magnético de uma Carga em Movimento

Local onde se encontra a carga **Ponto de fonte**.

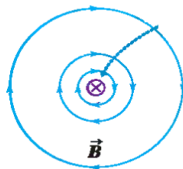
O ponto P é o **Ponto de campo**.

O campo \vec{B} é proporcional a:

- ▶ $|q|$.
- ▶ $1/r^2$.
- ▶ v .
- ▶ ao $\sin \phi$ entre \vec{v} e a direção de P em relação à carga.
- ▶ A direção é perpendicular a o plano definido pela velocidade e a direção de P .



Corrente orientada para dentro do plano da página



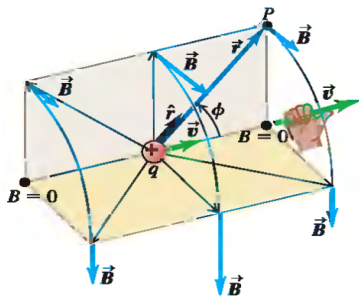
↳ Campo Magnético de uma Carga em Movimento

Local onde se encontra a carga **Ponto de fonte**.

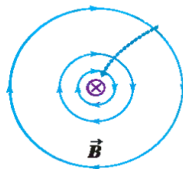
O ponto P é o **Ponto de campo**.

O campo \vec{B} é proporcional a:

- ▶ $|q|$.
- ▶ $1/r^2$.
- ▶ v .
- ▶ ao $\sin \phi$ entre \vec{v} e a direção de P em relação à carga.
- ▶ A direção é perpendicular a o plano definido pela velocidade e a direção de P .



Corrente orientada para dentro do plano da página



$$\vec{B} = \frac{\mu_0}{4\pi} \frac{q\vec{v} \times \hat{r}}{r^2}$$

$$\mu_0 = 4\pi \times 10^{-7} \text{ N}\cdot\text{s}^2/\text{C}^2$$

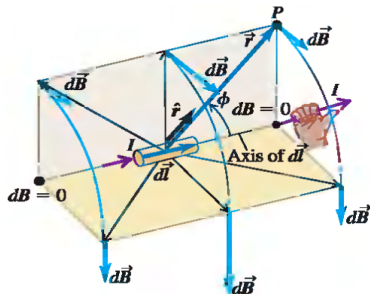
$$\mu_0\epsilon_0 = \frac{1}{c^2}$$

↳ Campo Magnético de um Elemento de Corrente

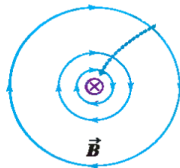
Campo Magnético de um Elemento de Corrente

O campo magnético total produzido por diversas cargas em movimento é a soma vetorial dos campos produzidos pelas cargas individuais.

$$dQ = nqAdl$$



Corrente orientada para dentro do plano da página



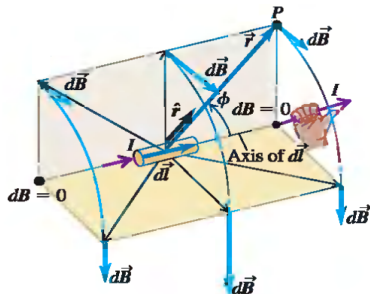
↳ Campo Magnético de um Elemento de Corrente

Campo Magnético de um Elemento de Corrente

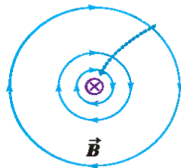
O campo magnético total produzido por diversas cargas em movimento é a soma vetorial dos campos produzidos pelas cargas individuais.

$$dQ = nqAdl$$

$$d\vec{B} = \frac{\mu_0}{4\pi} \frac{dQ\vec{v}_a \times \hat{r}}{r^2}$$



Corrente orientada para dentro do plano da página



↳ Campo Magnético de um Elemento de Corrente

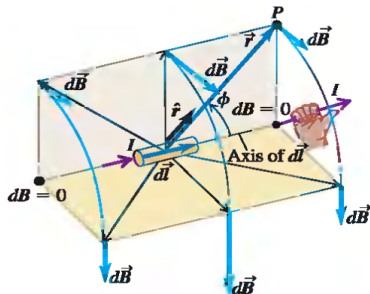
Campo Magnético de um Elemento de Corrente

O campo magnético total produzido por diversas cargas em movimento é a soma vetorial dos campos produzidos pelas cargas individuais.

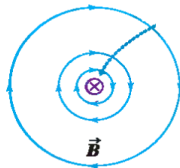
$$dQ = nqAdl$$

$$d\vec{B} = \frac{\mu_0}{4\pi} \frac{dQ\vec{v}_a \times \hat{r}}{r^2}$$

$$d\vec{B} = \frac{\mu_0}{4\pi} \frac{nqAdl\vec{v}_a \times \hat{r}}{r^2}$$



Corrente orientada para dentro do plano da página



↳ Campo Magnético de um Elemento de Corrente

Campo Magnético de um Elemento de Corrente

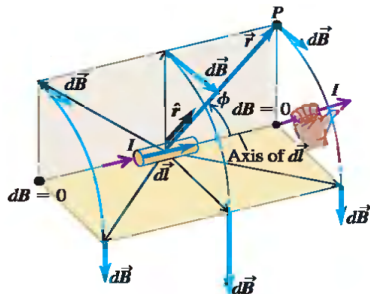
O campo magnético total produzido por diversas cargas em movimento é a soma vetorial dos campos produzidos pelas cargas individuais.

$$dQ = nqAdl$$

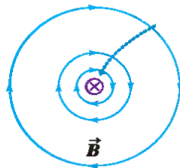
$$d\vec{B} = \frac{\mu_0}{4\pi} \frac{dQ\vec{v}_a \times \hat{r}}{r^2}$$

$$d\vec{B} = \frac{\mu_0}{4\pi} \frac{nqAdl\vec{v}_a \times \hat{r}}{r^2}$$

$$I = JA = nqv_aA$$



Corrente orientada para dentro do plano da página



↳ Campo Magnético de um Elemento de Corrente

Campo Magnético de um Elemento de Corrente

O campo magnético total produzido por diversas cargas em movimento é a soma vetorial dos campos produzidos pelas cargas individuais.

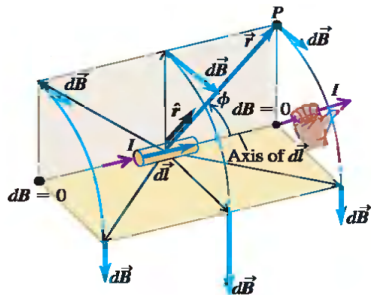
$$dQ = nqAdl$$

$$d\vec{B} = \frac{\mu_0}{4\pi} \frac{dQ\vec{v}_a \times \hat{r}}{r^2}$$

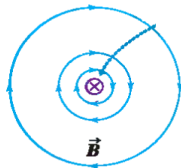
$$d\vec{B} = \frac{\mu_0}{4\pi} \frac{nqAdl\vec{v}_a \times \hat{r}}{r^2}$$

$$I = JA = nqv_a A$$

$$d\vec{B} = \frac{\mu_0}{4\pi} \frac{Id\vec{l} \times \hat{r}}{r^2}$$



Corrente orientada para dentro do plano da página



↳ Campo Magnético de um Elemento de Corrente

Campo Magnético de um Elemento de Corrente

O campo magnético total produzido por diversas cargas em movimento é a soma vetorial dos campos produzidos pelas cargas individuais.

$$dQ = nqAdl$$

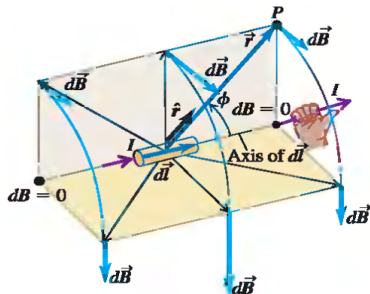
$$d\vec{B} = \frac{\mu_0}{4\pi} \frac{dQ\vec{v}_a \times \hat{r}}{r^2}$$

$$d\vec{B} = \frac{\mu_0}{4\pi} \frac{nqAdl\vec{v}_a \times \hat{r}}{r^2}$$

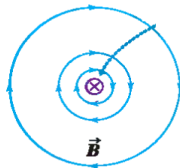
$$I = JA = nqv_a A$$

$$d\vec{B} = \frac{\mu_0}{4\pi} \frac{Id\vec{l} \times \hat{r}}{r^2}$$

$$\vec{B} = \frac{\mu_0}{4\pi} \int \frac{Id\vec{l} \times \hat{r}}{r^2}$$



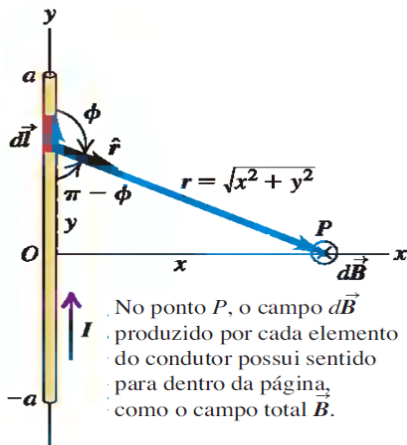
Corrente orientada para dentro do plano da página



↳ Campo Magnético de um Condutor Retilíneo Transportando uma Corrente

$$\vec{B} = \frac{\mu_0}{4\pi} \int \frac{I d\vec{l} \times \hat{r}}{r^2}$$

$$\vec{B} = \frac{\mu_0 I}{4\pi} \int \frac{dy \sin(\phi)}{x^2 + y^2} \hat{k}$$



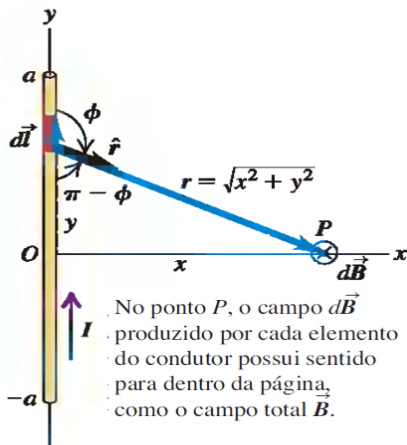
↳ Campo Magnético de um Condutor Retilíneo Transportando uma Corrente

$$\vec{B} = \frac{\mu_0}{4\pi} \int \frac{I d\vec{l} \times \hat{r}}{r^2}$$

$$\vec{B} = \frac{\mu_0 I}{4\pi} \int \frac{dy \sin(\phi)}{x^2 + y^2} \hat{k}$$

$$\vec{B} = \frac{\mu_0 I}{4\pi} \int \frac{dy \sin(\pi - \phi)}{x^2 + y^2} \hat{k}$$

$$\vec{B} = \frac{\mu_0 I}{4\pi} \int_{-a}^a \frac{x dy}{(x^2 + y^2)^{3/2}} \hat{k}$$



↳ Campo Magnético de um Condutor Retilíneo Transportando uma Corrente

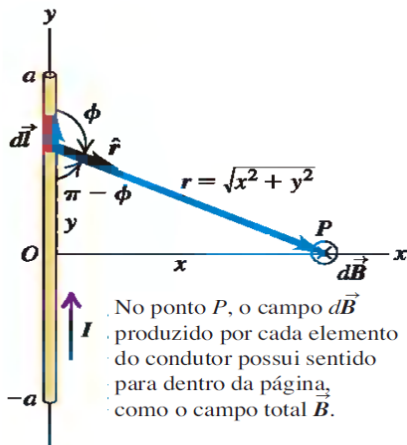
$$\vec{B} = \frac{\mu_0}{4\pi} \int \frac{I d\vec{l} \times \hat{r}}{r^2}$$

$$\vec{B} = \frac{\mu_0 I}{4\pi} \int \frac{dy \sin(\phi)}{x^2 + y^2} \hat{k}$$

$$\vec{B} = \frac{\mu_0 I}{4\pi} \int \frac{dy \sin(\pi - \phi)}{x^2 + y^2} \hat{k}$$

$$\vec{B} = \frac{\mu_0 I}{4\pi} \int_{-a}^a \frac{x dy}{(x^2 + y^2)^{3/2}} \hat{k}$$

$$\vec{B} = \frac{\mu_0 I}{4\pi} \frac{2a}{x \sqrt{x^2 + a^2}} \hat{k}$$



↳ Campo Magnético de um Condutor Retilíneo Transportando uma Corrente

$$\vec{B} = \frac{\mu_0}{4\pi} \int \frac{I d\vec{l} \times \hat{r}}{r^2}$$

$$\vec{B} = \frac{\mu_0 I}{4\pi} \int \frac{dy \sin(\phi)}{x^2 + y^2} \hat{k}$$

$$\vec{B} = \frac{\mu_0 I}{4\pi} \int \frac{dy \sin(\pi - \phi)}{x^2 + y^2} \hat{k}$$

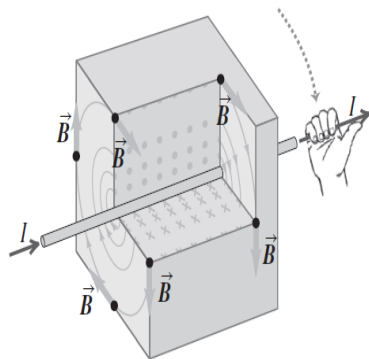
$$\vec{B} = \frac{\mu_0 I}{4\pi} \int_{-a}^a \frac{x dy}{(x^2 + y^2)^{3/2}} \hat{k}$$

$$\vec{B} = \frac{\mu_0 I}{4\pi} \frac{2a}{x\sqrt{x^2 + a^2}} \hat{k}$$

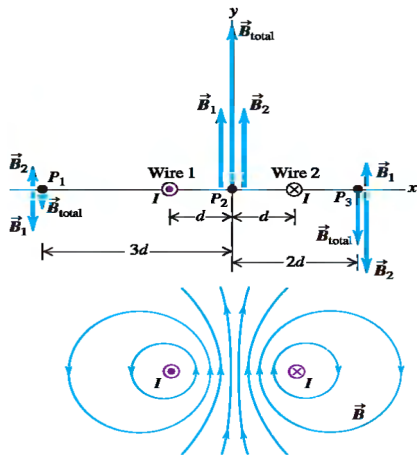
No limite de $a \rightarrow \infty$ temos,

$$\vec{B} = \frac{\mu_0 I}{2\pi r} \hat{e}_\theta$$

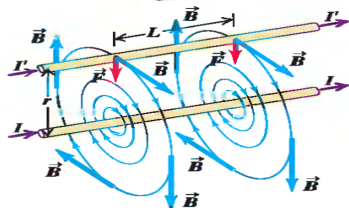
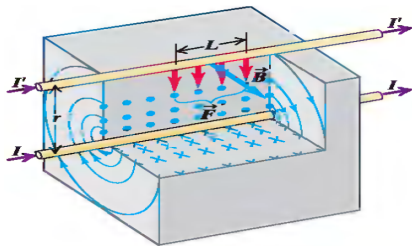
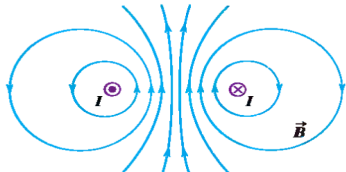
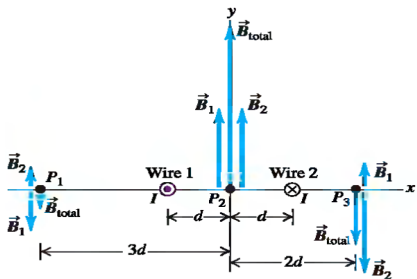
Regra da mão direita para o campo magnético em torno de um fio que transporta corrente:



Força entre Condutores Paralelos

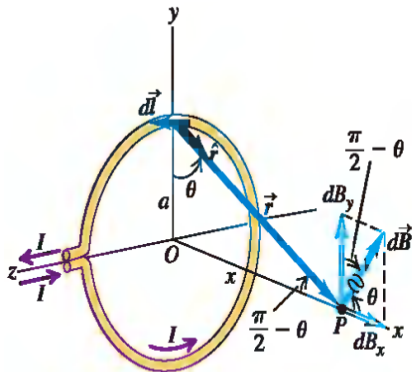


Força entre Condutores Paralelos



Campo Magnético de uma Espira Circular

$$dB = \frac{\mu_0 I}{4\pi} \frac{dl}{x^2 + a^2}$$

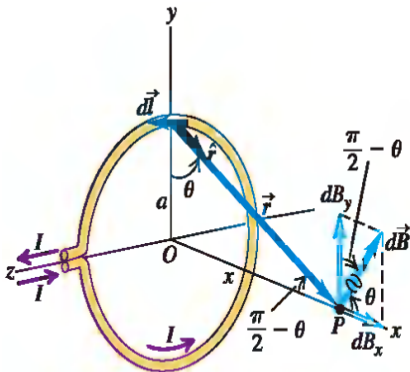


Campo Magnético de uma Espira Circular

$$dB = \frac{\mu_0 I}{4\pi} \frac{dl}{x^2 + a^2}$$

$$dB_x = dB \cos \theta = \frac{\mu_0 I}{4\pi} \frac{dl}{(x^2 + a^2)} \frac{a}{(x^2 + a^2)^{1/2}}$$

$$dB_y = dB \sin \theta = \frac{\mu_0 I}{4\pi} \frac{dl}{(x^2 + a^2)} \frac{x}{(x^2 + a^2)^{1/2}}$$



Campo Magnético de uma Espira Circular

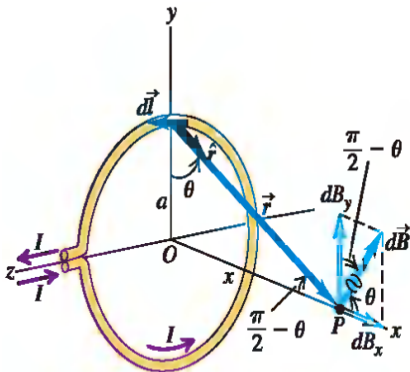
$$dB = \frac{\mu_0 I}{4\pi} \frac{dl}{x^2 + a^2}$$

$$dB_x = dB \cos \theta = \frac{\mu_0 I}{4\pi} \frac{dl}{(x^2 + a^2)} \frac{a}{(x^2 + a^2)^{1/2}}$$

$$dB_y = dB \sin \theta = \frac{\mu_0 I}{4\pi} \frac{dl}{(x^2 + a^2)} \frac{x}{(x^2 + a^2)^{1/2}}$$

$$B_x = \frac{\mu_0 I}{4\pi} \int \frac{adl}{(x^2 + a^2)^{3/2}} = \frac{\mu_0 I}{4\pi} \frac{a(2\pi a)}{(x^2 + a^2)^{3/2}}$$

$$B_y = \frac{\mu_0 I}{4\pi} \int \frac{xdl}{(x^2 + a^2)^{3/2}} = 0$$



Campo Magnético de uma Espira Circular

$$dB = \frac{\mu_0 I}{4\pi} \frac{dl}{x^2 + a^2}$$

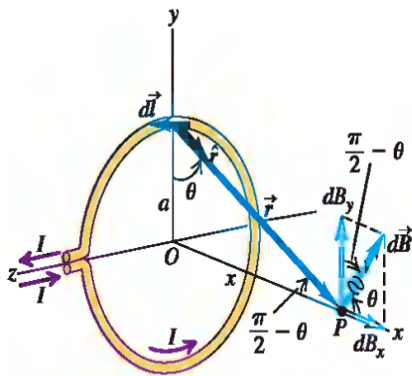
$$dB_x = dB \cos \theta = \frac{\mu_0 I}{4\pi} \frac{dl}{(x^2 + a^2)} \frac{a}{(x^2 + a^2)^{1/2}}$$

$$dB_y = dB \sin \theta = \frac{\mu_0 I}{4\pi} \frac{dl}{(x^2 + a^2)} \frac{x}{(x^2 + a^2)^{1/2}}$$

$$B_x = \frac{\mu_0 I}{4\pi} \int \frac{a dl}{(x^2 + a^2)^{3/2}} = \frac{\mu_0 I}{4\pi} \frac{a(2\pi a)}{(x^2 + a^2)^{3/2}}$$

$$B_y = \frac{\mu_0 I}{4\pi} \int \frac{x dl}{(x^2 + a^2)^{3/2}} = 0$$

$$B_x = \frac{\mu_0 I a^2}{2(x^2 + a^2)^{3/2}}$$



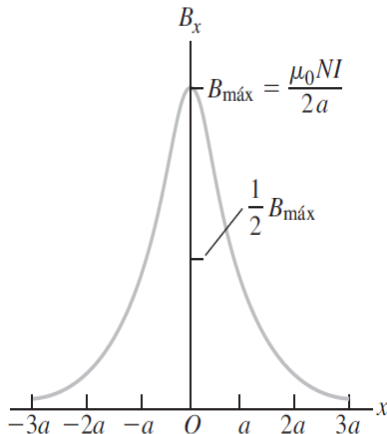
Campo Magnético de uma Espira Circular

Se tivermos N espiras e lembrando que

$\mu = NI\pi a^2$ obtemos:

$$B_x = \frac{\mu_0 N I a^2}{2(x^2 + a^2)^{3/2}} = \frac{\mu_0 \mu}{2\pi(x^2 + a^2)^{3/2}}$$

Vemos que o campo magnético produzido por um conjunto de espiras é proporcional ao momento magnético μ da espira.



Lei de Ampère

- ▶ Acabamos de ver que se temos $d\vec{B}$ integramos e obtemos \vec{B} . Assim como fizemos para o campo elétrico \vec{E} .

Lei de Ampère

- ▶ Acabamos de ver que se temos $d\vec{B}$ integramos e obtemos \vec{B} . Assim como fizemos para o campo elétrico \vec{E} .
- ▶ Quando tínhamos simetria obtemos \vec{E} pela lei de Gauss $\oint \vec{E} \cdot d\vec{A} = \frac{Q_{liq}}{\epsilon_0}$.
Relaciona campos com distribuição de cargas!

Lei de Ampère

- ▶ Acabamos de ver que se temos $d\vec{B}$ integramos e obtemos \vec{B} . Assim como fizemos para o campo elétrico \vec{E} .
- ▶ Quando tínhamos simetria obtemos \vec{E} pela lei de Gauss $\oint \vec{E} \cdot d\vec{A} = \frac{Q_{liq}}{\epsilon_0}$.
Relaciona campos com distribuição de cargas!
- ▶ A lei de Gauss para o campo magnético diz: $\oint \vec{B} \cdot d\vec{A} = 0$. **Não relaciona campos com distribuição de correntes!**

Lei de Ampère

- ▶ Acabamos de ver que se temos $d\vec{B}$ integramos e obtemos \vec{B} . Assim como fizemos para o campo elétrico \vec{E} .
- ▶ Quando tínhamos simetria obtemos \vec{E} pela lei de Gauss $\oint \vec{E} \cdot d\vec{A} = \frac{Q_{liq}}{\epsilon_0}$.
Relaciona campos com distribuição de cargas!
- ▶ A lei de Gauss para o campo magnético diz: $\oint \vec{B} \cdot d\vec{A} = 0$. **Não relaciona campos com distribuição de correntes!**
- ▶ Logo a lei de Gauss para o campo magnético não pode ser usada para determinar o campo de uma distribuição de correntes.

Lei de Ampère

- ▶ Acabamos de ver que se temos $d\vec{B}$ integramos e obtemos \vec{B} . Assim como fizemos para o campo elétrico \vec{E} .
- ▶ Quando tínhamos simetria obtemos \vec{E} pela lei de Gauss $\oint \vec{E} \cdot d\vec{A} = \frac{Q_{liq}}{\epsilon_0}$.
Relaciona campos com distribuição de cargas!
- ▶ A lei de Gauss para o campo magnético diz: $\oint \vec{B} \cdot d\vec{A} = 0$. **Não relaciona campos com distribuição de correntes!**
- ▶ Logo a lei de Gauss para o campo magnético não pode ser usada para determinar o campo de uma distribuição de correntes.
- ▶ A lei de Ampère é formulada em termos da integral de linha de \vec{B} em torno de uma trajetória fechada, dada por: $\oint \vec{B} \cdot d\vec{l}$

Lei de Ampère

Lei de Ampère para um condutor longo e retilíneo

- ▶ A lei de Ampère é formulada em termos da integral de linha de \vec{B} em torno de uma trajetória fechada, dada por: $\oint \vec{B} \cdot d\vec{l}$
- ▶ O campo de um condutor longo e retilíneo é dado por: $B = \frac{\mu_0 I}{2\pi r}$ e as linhas de campo são circunferências de raio r em torno do fio.

$$\oint \vec{B} \cdot d\vec{l} = \int B_{\parallel} dl = \frac{\mu_0 I}{2\pi r} \int dl = \frac{\mu_0 I}{2\pi r} (2\pi r)$$

$$\oint \vec{B} \cdot d\vec{l} = \mu_0 I$$



Lei de Ampère

Lei de Ampère para um condutor longo e retilíneo

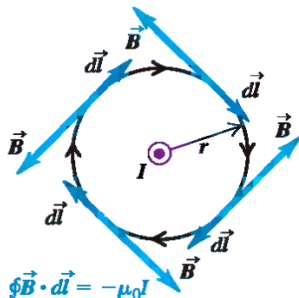
- ▶ A lei de Ampère é formulada em termos da integral de linha de \vec{B} em torno de uma trajetória fechada, dada por: $\oint \vec{B} \cdot d\vec{l}$
- ▶ O campo de um condutor longo e retilíneo é dado por: $B = \frac{\mu_0 I}{2\pi r}$ e as linhas de campo são circunferências de raio r em torno do fio.

$$\oint \vec{B} \cdot d\vec{l} = \mu_0 I$$

Se invertermos o sentido do caminho obtemos,

$$\oint \vec{B} \cdot d\vec{l} = - \int B_{\parallel} dl = - \frac{\mu_0 I}{2\pi r} \int dl = - \frac{\mu_0 I}{2\pi r} (2\pi r)$$

$$\oint \vec{B} \cdot d\vec{l} = -\mu_0 I$$



Lei de Ampère

Lei de Ampère para um condutor longo e retilíneo

- ▶ A lei de Ampère é formulada em termos da integral de linha de \vec{B} em torno de uma trajetória fechada, dada por: $\oint \vec{B} \cdot d\vec{l}$
- ▶ O campo de um condutor longo e retilíneo é dado por: $B = \frac{\mu_0 I}{2\pi r}$ e as linhas de campo são circunferências de raio r em torno do fio.

$$\oint \vec{B} \cdot d\vec{l} = \mu_0 I$$

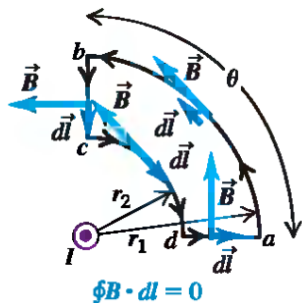
Se invertermos o sentido do caminho obtemos,

$$\oint \vec{B} \cdot d\vec{l} = -\mu_0 I$$

Se o caminho não englobar o fio obtemos,

$$\oint \vec{B} \cdot d\vec{l} = +\frac{\mu_0 I}{2\pi r_1}(\theta_{r_1}) - \frac{\mu_0 I}{2\pi r_2}(\theta_{r_2})$$

$$\oint \vec{B} \cdot d\vec{l} = 0$$

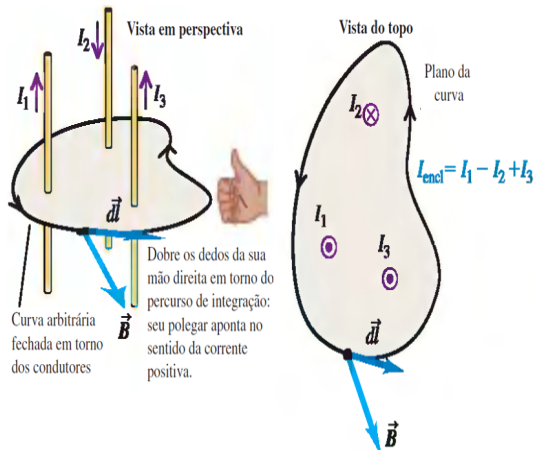


Lei de Ampère

Lei de Ampère: formulação geral

Forma Integral.

$$\oint \vec{B} \cdot d\vec{l} = \mu_0 I_{Int}$$



Lei de Ampère

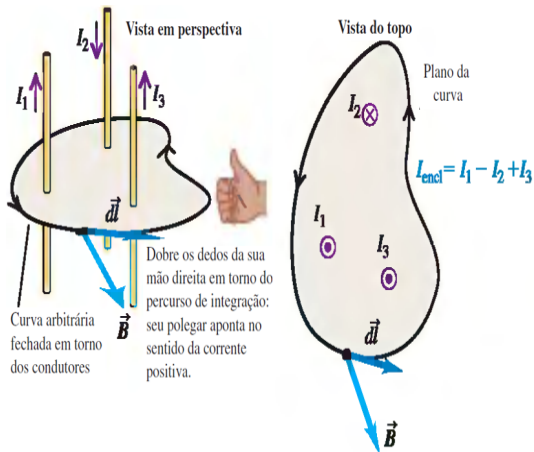
Lei de Ampère: formulação geral

Forma Integral.

$$\oint \vec{B} \cdot d\vec{l} = \mu_0 I_{Int}$$

Forma Diferencial.

$$\oint \vec{B} \cdot d\vec{l} = \int (\nabla \times \vec{B}) \cdot d\vec{A}$$



Lei de Ampère

Lei de Ampère: formulação geral

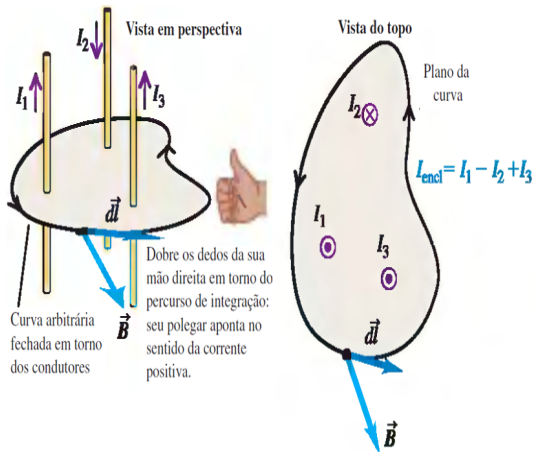
Forma Integral.

$$\oint \vec{B} \cdot d\vec{l} = \mu_0 I_{Int}$$

Forma Diferencial.

$$\oint \vec{B} \cdot d\vec{l} = \int (\nabla \times \vec{B}) \cdot d\vec{A}$$

$$\oint \vec{B} \cdot d\vec{l} = \mu_0 \int \vec{J}_{Int} \cdot d\vec{A}$$



Lei de Ampère

Lei de Ampère: formulação geral

Forma Integral.

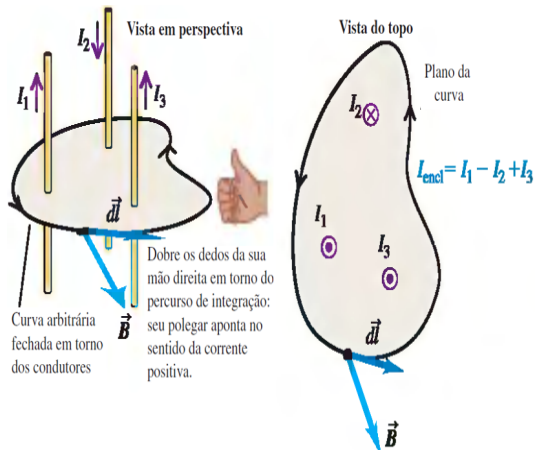
$$\oint \vec{B} \cdot d\vec{l} = \mu_0 I_{Int}$$

Forma Diferencial.

$$\oint \vec{B} \cdot d\vec{l} = \int (\nabla \times \vec{B}) \cdot d\vec{A}$$

$$\oint \vec{B} \cdot d\vec{l} = \mu_0 \int \vec{J}_{Int} \cdot d\vec{A}$$

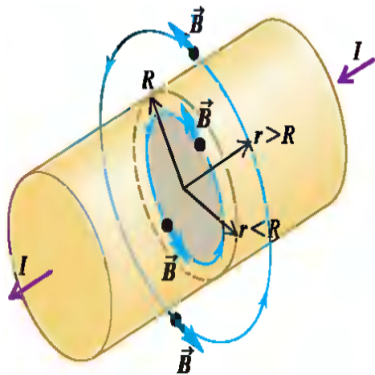
$$\nabla \times \vec{B} = \mu_0 \vec{J}_{Int}$$



Campo de um fio/cilindro condutor longo.

Para $r > R$, que é sempre o caso para um fio
temos:

$$\oint \vec{B} \cdot d\vec{l} = \mu_0 I$$



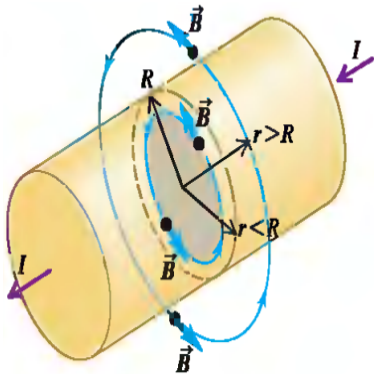
Campo de um fio/cilindro condutor longo.

Para $r > R$, que é sempre o caso para um fio
temos:

$$\oint \vec{B} \cdot d\vec{l} = \mu_0 I$$

Dado que $\vec{B} = B\hat{e}_\theta$ e $d\vec{l} = dl\hat{e}_\theta$ possuem a
mesma direção e o módulo de B é constante para
um dado r , assim:

$$B \oint dl = \mu_0 I$$



Campo de um fio/cilindro condutor longo.

Para $r > R$, que é sempre o caso para um fio temos:

$$\oint \vec{B} \cdot d\vec{l} = \mu_0 I$$

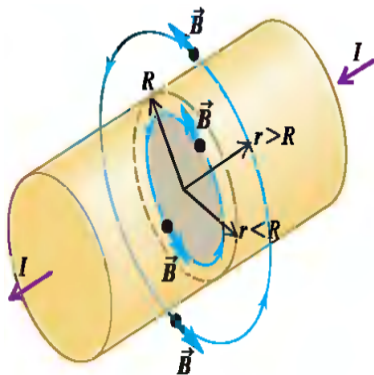
Dado que $\vec{B} = B\hat{e}_\theta$ e $d\vec{l} = dl\hat{e}_\theta$ possuem a mesma direção e o módulo de B é constante para um dado r , assim:

$$B \oint dl = \mu_0 I$$

$$B 2\pi r = \mu_0 I$$

$$B = \frac{\mu_0 I}{2\pi r}$$

$$\vec{B} = \frac{\mu_0 I}{2\pi r} \hat{e}_\theta$$



Campo de um fio/cilindro condutor longo.

Para $r > R$, que é sempre o caso para um fio temos:

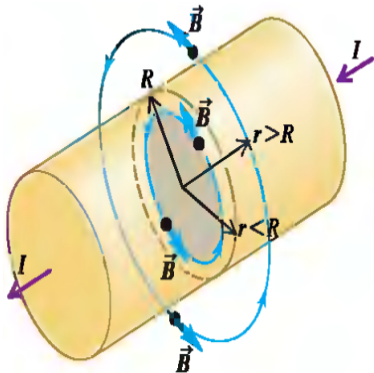
$$\vec{B} = \frac{\mu_0 I}{2\pi r} \hat{e}_\theta$$

Para $r < R$, que é o caso para um cilindro temos:

$$\oint \vec{B} \cdot d\vec{l} = \mu_0 I_{\text{interno}}$$

$$J = \frac{I}{\pi R^2}$$

$$I_{\text{interno}} = J\pi r^2 = \frac{I\pi r^2}{\pi R^2} = I \left(\frac{r}{R}\right)^2$$



Campo de um fio/cilindro condutor longo.

Para $r > R$, que é sempre o caso para um fio temos:

$$\vec{B} = \frac{\mu_0 I}{2\pi r} \hat{e}_\theta$$

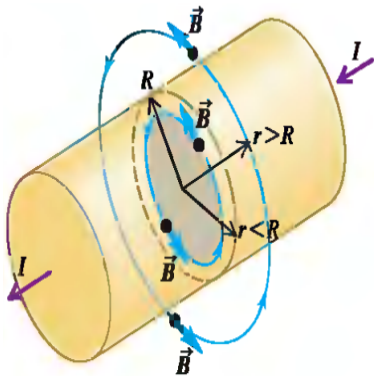
Para $r < R$, que é o caso para um cilindro temos:

$$\oint \vec{B} \cdot d\vec{l} = \mu_0 I_{\text{interno}}$$

$$J = \frac{I}{\pi R^2}$$

$$I_{\text{interno}} = J\pi r^2 = \frac{I\pi r^2}{\pi R^2} = I \left(\frac{r}{R}\right)^2$$

Dado que $\vec{B} = B\hat{e}_\theta$ e $d\vec{l} = dl\hat{e}_\theta$ e B é constante para um dado r , temos:



Campo de um fio/cilindro condutor longo.

Para $r > R$, que é sempre o caso para um fio
temos:

$$\vec{B} = \frac{\mu_0 I}{2\pi r} \hat{e}_\theta$$

Para $r < R$, que é o caso para um cilindro temos:

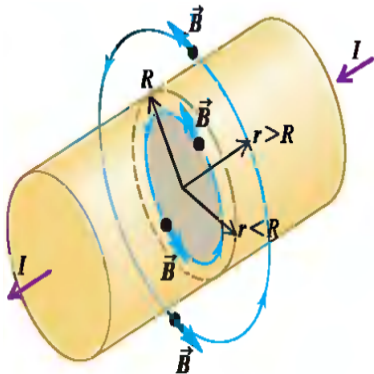
$$\oint \vec{B} \cdot d\vec{l} = \mu_0 I_{\text{interno}}$$

$$J = \frac{I}{\pi R^2}$$

$$I_{\text{interno}} = J\pi r^2 = \frac{I\pi r^2}{\pi R^2} = I \left(\frac{r}{R}\right)^2$$

Dado que $\vec{B} = B\hat{e}_\theta$ e $d\vec{l} = dl\hat{e}_\theta$ e B é constante
para um dado r , temos:

$$B2\pi r = \mu_0 I \left(\frac{r}{R}\right)^2$$



Campo de um fio/cilindro condutor longo.

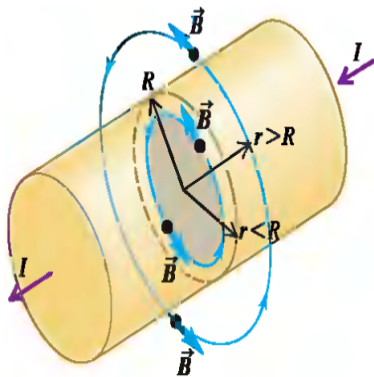
Para $r > R$, que é sempre o caso para um fio temos:

$$\vec{B} = \frac{\mu_0 I}{2\pi r} \hat{e}_\theta$$

Para $r < R$, que é o caso para um cilindro temos:

$$\oint \vec{B} \cdot d\vec{l} = \mu_0 I_{\text{interno}}$$

$$B = \frac{\mu_0 I}{2\pi R^2} r$$



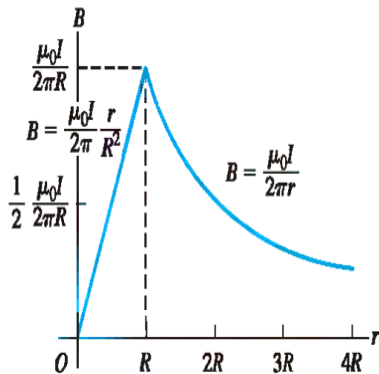
Campo de um fio/cilindro condutor longo.

Para $r > R$, que é sempre o caso para um fio
temos:

$$\vec{B} = \frac{\mu_0 I}{2\pi r} \hat{e}_\theta$$

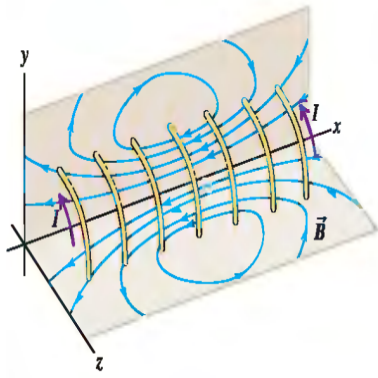
Para $r < R$, que é o caso para um cilindro temos:

$$\vec{B} = \frac{\mu_0 I}{2\pi R^2} r \hat{e}_\theta$$



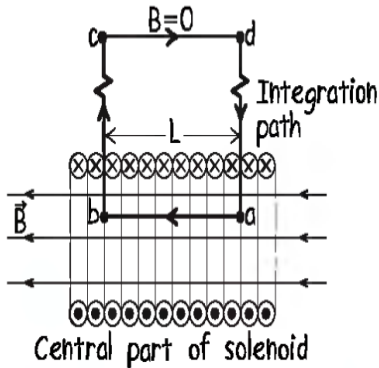
Campo de um Solenóide.

- ▶ Um solenóide é um enrolamento helicoidal de fio.
- ▶ O campo no interior de um solenóide é aproximadamente constante.



Campo de um Solenóide.

- ▶ Um solenóide é um enrolamento helicoidal de fio.
- ▶ O campo no interior de um solenóide é aproximadamente constante.
- ▶ Logo podemos aproximar um solenóide da forma mostrado na figura ao lado.



Campo de um Solenóide.

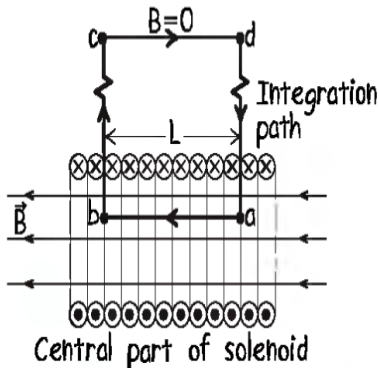
- ▶ Um solenóide é um enrolamento helicoidal de fio.
- ▶ O campo no interior de um solenóide é aproximadamente constante.
- ▶ Logo podemos aproximar um solenóide da forma mostrado na figura ao lado.
- ▶ Portanto seja nI a densidade de corrente por unidade de comprimento assim,

$$I_{Int} = nLI$$

$$\oint \vec{B} \cdot d\vec{l} = \mu_0 I_{Int}$$

$$BL = \mu_0 nLI$$

$$B = \mu_0 nLI$$



Campo de um Solenóide.

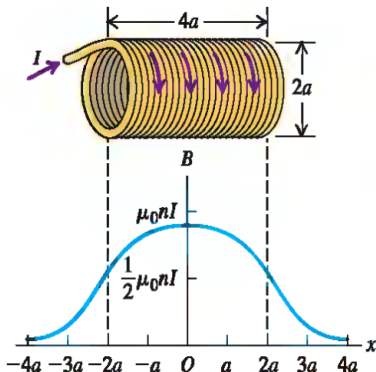
- ▶ Um solenóide é um enrolamento helicoidal de fio.
- ▶ O campo no interior de um solenóide é aproximadamente constante.
- ▶ Logo podemos aproximar um solenóide da forma mostrado na figura ao lado.
- ▶ Portanto seja nI a densidade de corrente por unidade de comprimento assim,

$$I_{Int} = nLI$$

$$\oint \vec{B} \cdot d\vec{l} = \mu_0 I_{Int}$$

$$BL = \mu_0 nLI$$

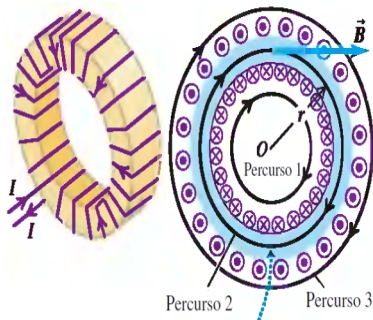
$$B = \mu_0 nLI$$



Campo de um Solenóide Toroidal.

► Para o caminho 1 temos,

$$\oint \vec{B} \cdot d\vec{l} = 0$$



O campo magnético está quase completamente confinado ao espaço no interior dos enrolamentos.

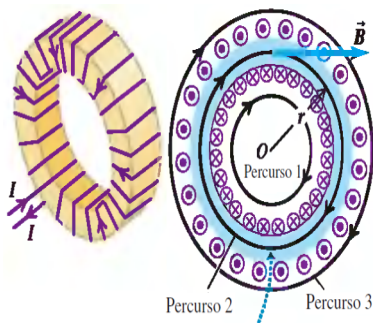
Campo de um Solenóide Toroidal.

- ▶ Para o caminho 1 temos,

$$\oint \vec{B} \cdot d\vec{l} = 0$$

- ▶ Para o caminho 2 temos,

$$\begin{aligned} \oint \vec{B} \cdot d\vec{l} &= \mu_0 NI \\ 2\pi r B &= \mu_0 NI \\ B &= \frac{\mu_0 NI}{2\pi r} \end{aligned}$$



O campo magnético está quase completamente confinado ao espaço no interior dos enrolamentos.

Campo de um Solenóide Toroidal.

- Para o caminho 1 temos,

$$\oint \vec{B} \cdot d\vec{l} = 0$$

- Para o caminho 2 temos,

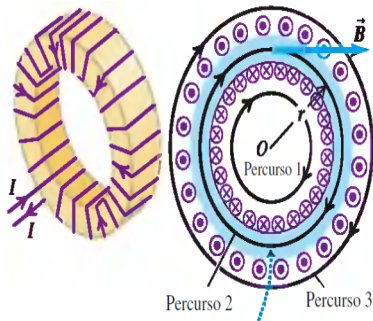
$$\oint \vec{B} \cdot d\vec{l} = \mu_0 NI$$

$$2\pi r B = \mu_0 NI$$

$$B = \frac{\mu_0 NI}{2\pi r}$$

- Para o caminho 3 temos,

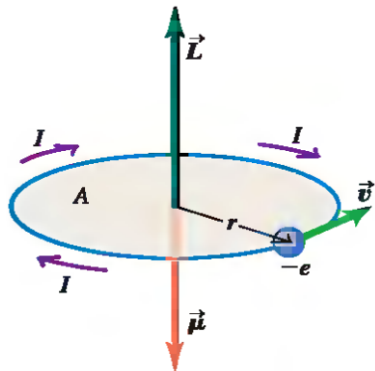
$$\oint \vec{B} \cdot d\vec{l} = \mu_0(NI - NI) = 0$$



O campo magnético está quase completamente confinado ao espaço no interior dos enrolamentos.

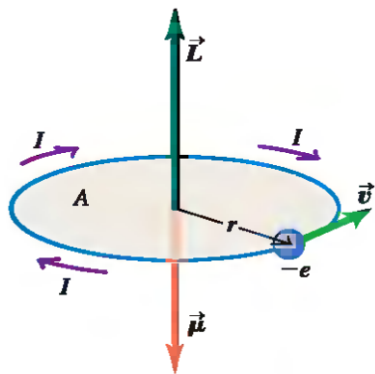
O magneton de Bohr

$$I = \frac{e}{T}$$



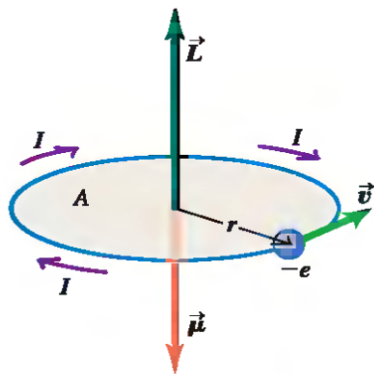
O magneton de Bohr

$$I = \frac{e}{T}$$
$$T = \frac{2\pi r}{v}$$



O magneton de Bohr

$$I = \frac{e}{T}$$
$$T = \frac{2\pi r}{v}$$
$$I = \frac{ev}{2\pi r}$$



O magneton de Bohr

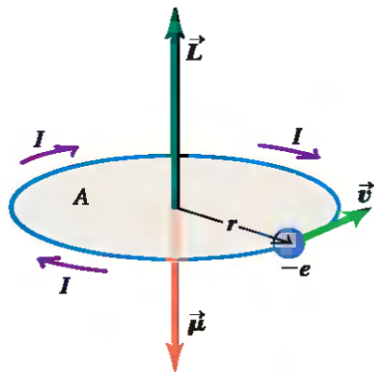
$$I = \frac{e}{T}$$

$$T = \frac{2\pi r}{v}$$

$$I = \frac{ev}{2\pi r}$$

$$\mu = IA$$

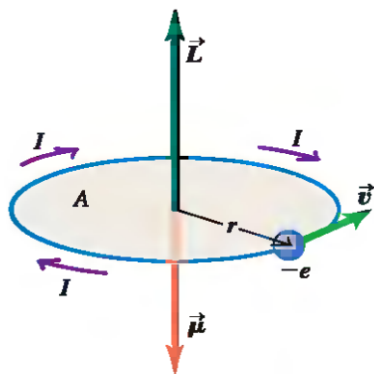
$$\mu = \frac{ev}{2\pi r} (\pi r^2) = \frac{evr}{2}$$



O magneton de Bohr

$$\begin{aligned}
 I &= \frac{e}{T} \\
 T &= \frac{2\pi r}{v} \\
 I &= \frac{ev}{2\pi r} \\
 \mu &= IA \\
 \mu &= \frac{ev}{2\pi r} (\pi r^2) = \frac{evr}{2} \\
 L &= mvr = \frac{h}{2\pi}
 \end{aligned}$$

$$h = 6,626 \times 10^{-34} \text{ Js}$$



O magneton de Bohr

$$I = \frac{e}{T}$$

$$T = \frac{2\pi r}{v}$$

$$I = \frac{ev}{2\pi r}$$

$$\mu = IA$$

$$\mu = \frac{ev}{2\pi r} (\pi r^2) = \frac{evr}{2}$$

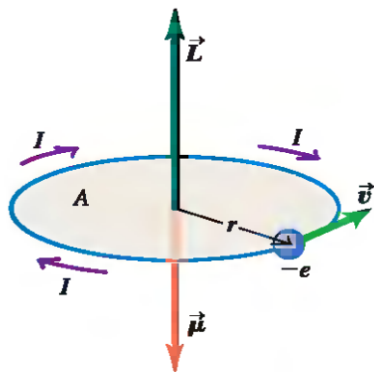
$$L = mvr = \frac{h}{2\pi}$$

$$h = 6,626 \times 10^{-34} \text{ Js}$$

$$\mu = \frac{e}{2m} L = \frac{eh}{4\pi m}$$

$$\mu = 9,274 \times 10^{-24} \text{ Am}^2$$

$$\mu = 9,274 \times 10^{-24} \text{ J/T}$$



Paramagnetismo

Diamagnetismo

Ferromagnetismo